

# Introduction to Quantum Computing

## 量子計算入門

### Lecture 2: Quantum Algorithms

Rod Van Meter  
[rdv@tera.ics.keio.ac.jp](mailto:rdv@tera.ics.keio.ac.jp)  
September 28–30, 2004  
@会津大学

with numerous slides from E. Abe



### Course Outline

- Lecture 1: Introduction
- **Lecture 2: Quantum Algorithms**
- Lecture 3: Quantum Computational Complexity Theory
- Lecture 4: Devices and Technologies
- Lecture 5: Quantum Computer Architecture
- Lecture 6: Quantum Networking
- Lecture 7: Wrapup

### アウトライン

- Review of basics from yesterday
- Deutsch-Jozsa
- Shor's factoring algorithm
- Grover's search algorithm
- Brief look at other algorithms

### 量子計算とは?

- ひとつの量子は同時に二つの所にある。
  - 誰も見ていない時だけ!
  - 有名なgedankenexperiment: Schroedinger's cat
  - Superposition (重ね合わせ)
- その重ね合わせを使って、ちょうど並列計算ができるようになっている。

## 量子計算は何に使えるか?

- 素因数分解(Shor's algorithm):  
量子計算すると:  $O(L^3)$  for L-bit number  
古典的な計算方法だと:  $O(2^L)$
- 検索(Grover's algorithm):  
 $O(\sqrt{N})$  to search N items ( $N=2^L$ )
- Quantum Key Distribution:  
物理学のせいで、絶対セキュア

## 量子計算の基本

- Superposition, phase, and the ket notation
- Entanglement
- 1 and 2-qubit gates
- Measurement and decoherence

## Superposition (重ね合わせ) and ket Notation

- Qubit state is a vector
- $|0\rangle$  means the vector for 0;  
 $|1\rangle$  means the vector for 1;
- $|00\rangle$  means two bits, both 0;
- $|010\rangle$  is three bits, middle one is 1;  
etc.
- A qubit may be partially both!  
(but stay tuned for measurement...)

## 1-qubitの状態とBloch球 (Phase)

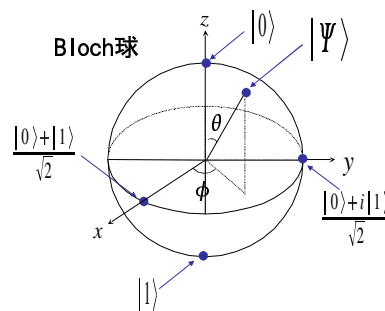
1-qubitの状態の標準基底

$$|0\rangle = \begin{bmatrix} 1 \\ 0 \end{bmatrix} \quad |1\rangle = \begin{bmatrix} 0 \\ 1 \end{bmatrix}$$

任意の重ね合わせ状態

$$|\Psi\rangle = \alpha|0\rangle + \beta|1\rangle = \begin{bmatrix} \alpha \\ \beta \end{bmatrix} \quad |\alpha|^2 + |\beta|^2 = 1 \quad (\alpha, \beta \in C)$$

複素2変数 - 1束縛条件 = 実3変数



測定結果に影響しない  
実2変数(物理的要請)

$$|\Psi\rangle = e^{i\phi} \left[ \cos \frac{\theta}{2} |0\rangle + e^{i\phi} \sin \frac{\theta}{2} |1\rangle \right]$$

相対位相

$$|\Psi\rangle = \cos \frac{\theta}{2} |0\rangle + e^{i\phi} \sin \frac{\theta}{2} |1\rangle$$

## Entanglementとは? 絡み付き

- 二つのqubitのvalue (0, 1)は相手次第である

$$\frac{|00\rangle + |11\rangle}{\sqrt{2}} = \frac{1}{\sqrt{2}} |00\rangle + 0|01\rangle + 0|10\rangle + \frac{1}{\sqrt{2}} |11\rangle$$

Bit0 Bit1

0	0	50%
0	1	0%
1	0	0%
1	1	50%

どちらかを測定すると、相手のvalueは決まる。0でも1でもの確率は50%だが、(0, 1)と(1, 0)の確率は0!

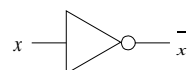
$\frac{1}{\sqrt{2}} \begin{bmatrix} 1 \\ 0 \\ 0 \\ 1 \end{bmatrix}$

## Measurement and Decoherence (測定と位相緩和)

- Qubitを測定すると、重ね合わせがなくなります。必ず1か0かどちらかの結果になります。
- その重ね合わせは計算に大事なので、計算が終わってから測定する。
- 偶然に測定されると、decoherence(位相緩和)と呼ぶ。この場合は、計算は失敗である。

## 1-qubitの演算の例, Pauli行列

古典回路における1-bit演算  $\Rightarrow$  NOTのみ



量子演算版NOT = Pauli-X ゲート

$$\alpha|0\rangle + \beta|1\rangle \xrightarrow{\oplus} \beta|0\rangle + \alpha|1\rangle$$

$$X|0\rangle = |1\rangle \Leftrightarrow X\begin{bmatrix} 1 \\ 0 \end{bmatrix} = \begin{bmatrix} 0 \\ 1 \end{bmatrix} \quad X|1\rangle = |0\rangle \Leftrightarrow X\begin{bmatrix} 0 \\ 1 \end{bmatrix} = \begin{bmatrix} 1 \\ 0 \end{bmatrix}$$

$X = \begin{bmatrix} 0 & 1 \\ 1 & 0 \end{bmatrix}$  がどの状態になるかを表す

Pauli-Y,Z  
ゲート

$$Y = \begin{bmatrix} 0 & -i \\ i & 0 \end{bmatrix}$$

$$Z = \begin{bmatrix} 1 & 0 \\ 0 & -1 \end{bmatrix}$$

$$\alpha|0\rangle + \beta|1\rangle \xrightarrow{Y} -i\beta|0\rangle + i\alpha|1\rangle$$

$$\alpha|0\rangle + \beta|1\rangle \xrightarrow{Z} \alpha|0\rangle - \beta|1\rangle$$

## 2-qubitの量子演算の例

例1. 制御NOTゲート

$$C_{AB} = \begin{bmatrix} 1 & 0 & 0 & 0 \\ 0 & 1 & 0 & 0 \\ 0 & 0 & 0 & 1 \\ 0 & 0 & 1 & 0 \end{bmatrix}$$

$$\begin{array}{l} AB \\ |00\rangle \rightarrow |00\rangle \\ |01\rangle \rightarrow |01\rangle \\ |10\rangle \rightarrow |11\rangle \\ |11\rangle \rightarrow |10\rangle \end{array}$$

$$\begin{array}{l} |A\rangle \xrightarrow{\bullet} |A\rangle \\ |B\rangle \xrightarrow{\oplus} |A \oplus B\rangle \end{array}$$

mod 2 の足し算

$$C_{BA} = \begin{bmatrix} 1 & 0 & 0 & 0 \\ 0 & 0 & 0 & 1 \\ 0 & 0 & 1 & 0 \\ 0 & 1 & 0 & 0 \end{bmatrix}$$

$$\begin{array}{l} AB \\ |00\rangle \rightarrow |00\rangle \\ |01\rangle \rightarrow |11\rangle \\ |10\rangle \rightarrow |10\rangle \\ |11\rangle \rightarrow |01\rangle \end{array}$$

$$\begin{array}{l} |A\rangle \xrightarrow{\oplus} |A \oplus B\rangle \\ |B\rangle \xrightarrow{\bullet} |B\rangle \end{array}$$

## How Do Quantum Algos Work?

- Runs are begun by creating a superposition of all possible input values.
- Executing a function gives a superposition of answers of all possible inputs! The hard part is extracting the answer we want.
- Every part of the superposition works *independently* on the algorithm.
- They all work by using *interference*. The phase of parts of the superposition are arranged to cancel out and leave only the interesting answer.

## 量子並列性

n-qubitに対するHadamardゲート

$$|0\rangle^{\otimes n} \xrightarrow{H^{\otimes n}} \frac{1}{\sqrt{2}}(|000\dots00\rangle + |000\dots01\rangle + \dots + |111\dots11\rangle) = \frac{1}{2^{n/2}}(|0\rangle + |1\rangle + |2\rangle + \dots + |N-1\rangle) = \frac{1}{2^{n/2}} \sum_{x=0}^{N-1} |x\rangle$$

$$H = \frac{1}{\sqrt{2}} \begin{bmatrix} 1 & 1 \\ 1 & -1 \end{bmatrix}$$

$2^n = N$  個の状態の等しい重みの重ね合わせ

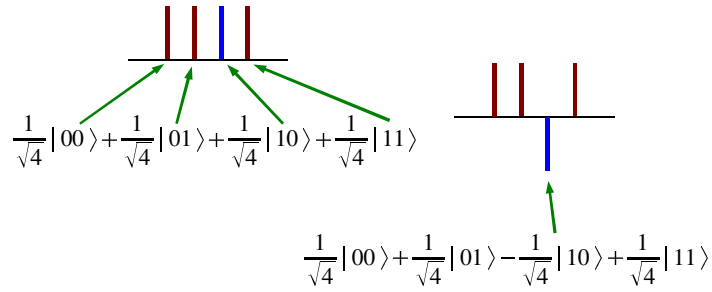
例えば、 $x=0, 1, \dots, N-1$  に対して0か1の値をとる2値関数  $f(x)$  が与えられたとする  
さらに、量子並列性によって  $f(x)$  に関する全ての情報の重ね合わせをつくれたとする

$$\frac{1}{2^{n/2}}(|f(0)\rangle + |f(1)\rangle + |f(2)\rangle + \dots + |f(N-1)\rangle)$$

$f(x)$  を決定できるか?

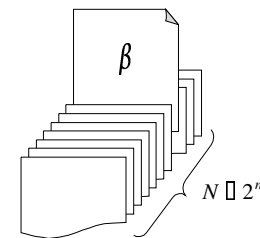
NO! 測定したら  $f(x)$  の値のどれか1つを得るだけ

## Graphic Representation



Each bar is the amplitude of the wave function, that is, the square root of the probability, of finding the system in a particular state.

## Example: Search



Start with all equal probabilities:



Flip the phase of the answer:



Flip all states about the mean (average):



The analog nature of phase figures is strongly!

## 量子アルゴリズム

- Deutsch-Jozsa(D-J)のアルゴリズム
  - Proc. R. Soc. London A, 439, 553 (1992)
- Groverの検索アルゴリズム
  - Phys. Rev. Lett., 79, 325 (1997)
- Shorの素因数分解アルゴリズム
  - SIAM J. Comp., 26, 1484 (1997)



D. Deutsch



R. Jozsa



L. K. Grover



P. W. Shor

## Deutschの問題

$x=0, 1, \dots, 2^n-1$  に対して定義された2値関数  $f(x)$  が “constant” であるか “balanced” であるか判定せよ

constant: 全ての  $x$  に対して  $f(x)$  の値が同じ (全て0 or 全て1)

$n=2$  の例  $f(x)=(0,0,0,0)$  or  $f(x)=(1,1,1,1)$

balanced:  $f(x)$  の値の半分は0, 半分は1

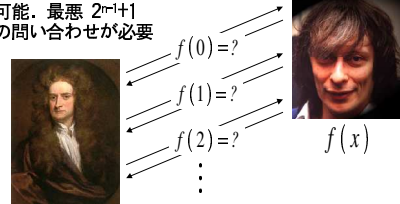
$n=2$  の例  $f(x)=(0,0,1,1)$  とその並べ替え

classical

1回の問い合わせでの判定は

不可能, 最悪  $2^{n+1}$

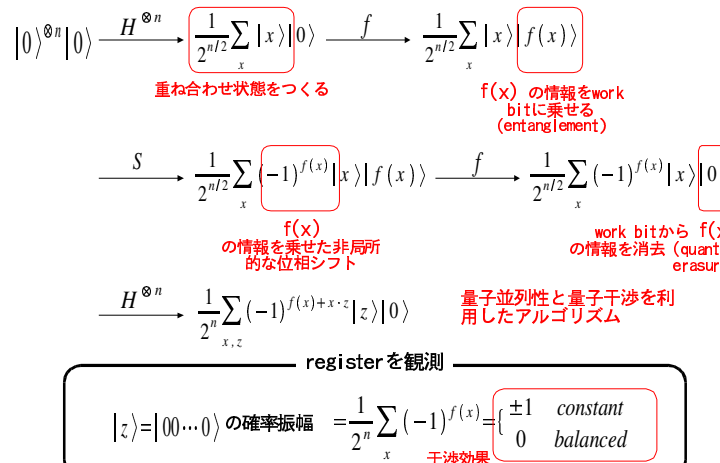
回の問い合わせが必要



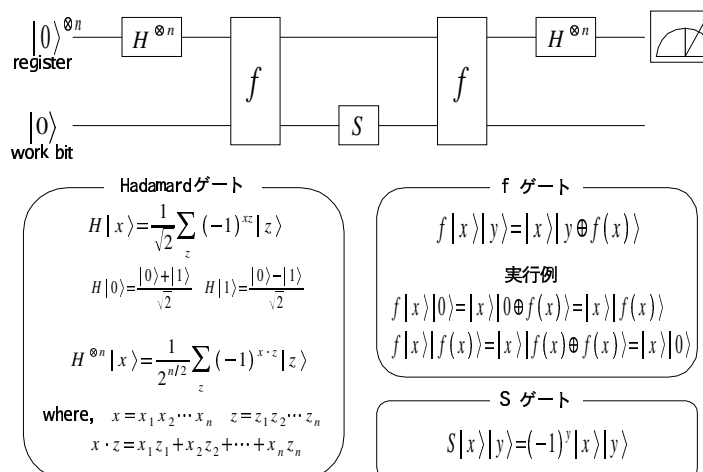
常に1回の問い合わせで  
判定できる



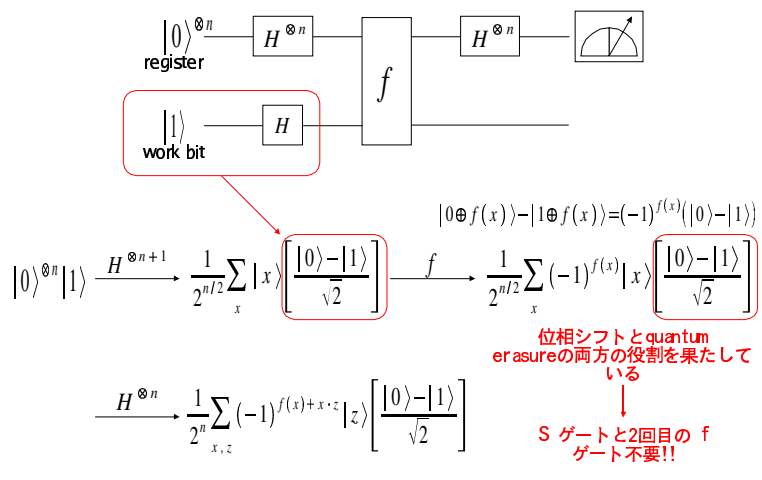
## D-Jの実行過程



## D-Jを実行する量子回路

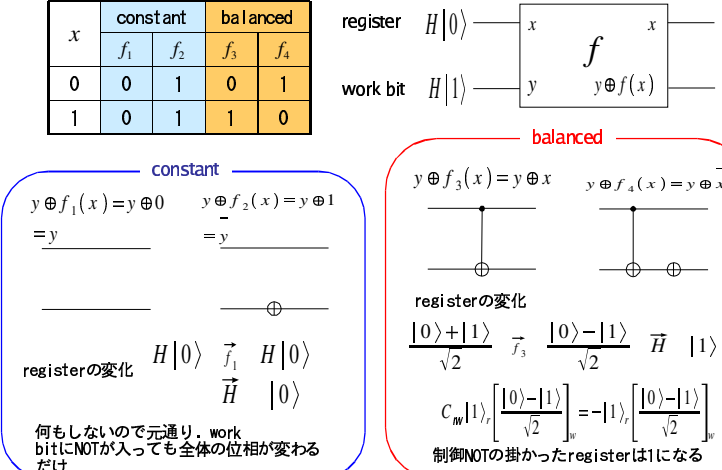


## D-J (改良版)



## $f$ ゲートの例, 2 bit

x	constant		balanced	
	$f_1$	$f_2$	$f_3$	$f_4$
0	0	1	0	1
1	0	1	1	0



## D-J and Grover

Deutsch-Jozsa takes advantage of *interference* in the phase to cancel out unwanted terms in the superposition.

But, D-J uses only +1 and -1 in the phase and essentially calculates parity.

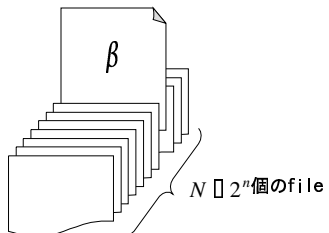
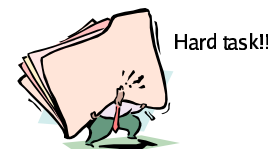
Grover's algorithm takes advantage of the full continuous nature of phase to create interference...

(Note: Remember, phase applies to the whole term in the superposition, not just a single qubit! Shift the phase on any qubit and you shift it on the whole term in the superposition.)

## Groverの検索アルゴリズム

$N = 2^n$  個のfileの中から、所望のfile “ $\beta$ ” を検索する

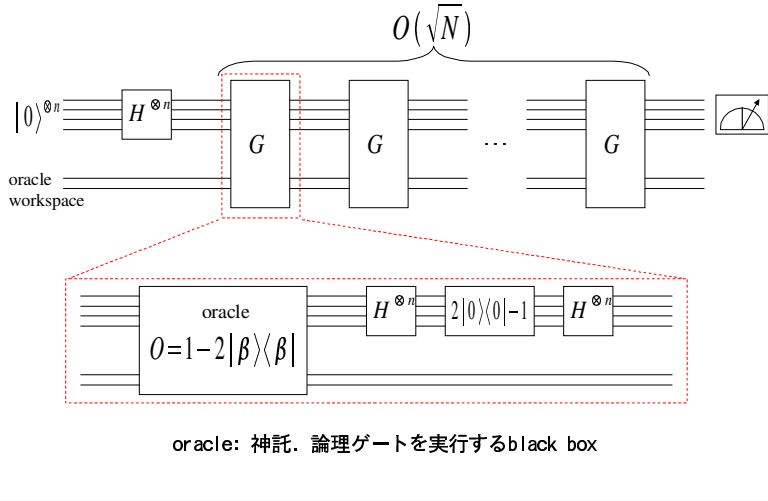
古典的には、順番にfileを調べて、平均 $N/2$ 回程度の操作が必要



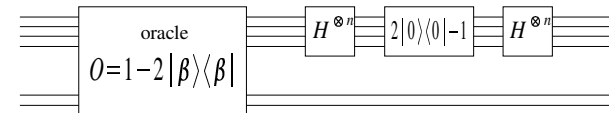
Groverのアルゴリズムでは、 $N$  個のfile(状態)の重ね合わせから、出発して  $\sqrt{N}$  回程度のunitary演算  $G$  を実行することで、ほぼ所望のfileに到達

$$|\Psi\rangle = \frac{1}{\sqrt{N}} \sum_{x=0}^{N-1} |x\rangle \longrightarrow \approx |\beta\rangle$$

## Groverを実行する量子回路



## Gゲートの解析(1)



$$\begin{cases} 0|\beta\rangle = |\beta\rangle - 2|\beta\rangle\langle\beta|\beta\rangle = -|\beta\rangle \\ 0|x\rangle = |x\rangle - 2|\beta\rangle\langle\beta|x\rangle = |x\rangle (x \neq \beta) \end{cases}$$

所望のfileに対してのみ, 符号反転

$$\begin{aligned} H^{\otimes n}(2|0\rangle\langle 0|-1)H^{\otimes n} &= 2H^{\otimes n}|0\rangle\langle 0|H^{\otimes n}-1 \\ &= 2|\psi\rangle\langle\psi|-1 \\ (2|\psi\rangle\langle\psi|-1)\sum_k \alpha_k|k\rangle &= \frac{2}{N}\sum_{k,k'} \alpha_k|k'\rangle\langle k'|k\rangle - \sum_k \alpha_k|k\rangle \\ &= \sum_k [2\langle\alpha\rangle - \alpha_k]|k\rangle \end{aligned}$$

"inversion about average"

$\langle\alpha\rangle \equiv \sum_k \frac{\alpha_k}{N}$

## Gゲートの解析(2)

所望のfile( $\beta$ )以外のN-1個のfileの重ね合わせ

$$|\alpha\rangle = \frac{1}{\sqrt{N-1}} \sum_x |x\rangle = \begin{bmatrix} 1 \\ 0 \\ \vdots \\ 0 \end{bmatrix}$$

$$|\beta\rangle = \begin{bmatrix} 0 \\ 1 \\ \vdots \\ 0 \end{bmatrix}$$

$$O = 1 - 2|\beta\rangle\langle\beta|$$

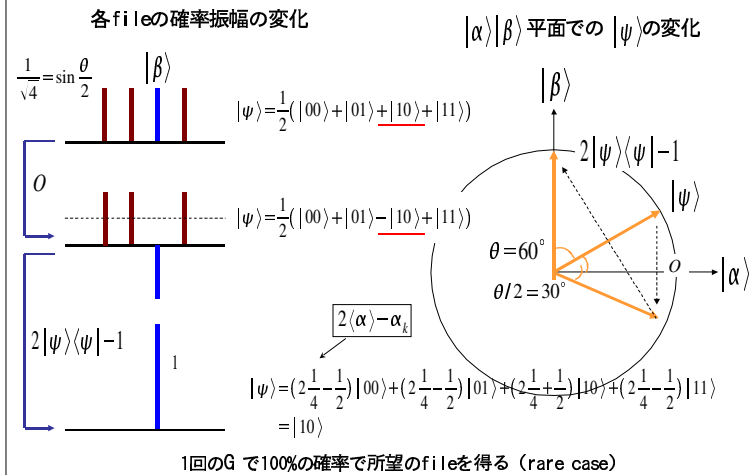
$$= \begin{bmatrix} 1 & 0 \\ 0 & 1 \end{bmatrix} - 2 \begin{bmatrix} 0 & 1 \\ 1 & 0 \end{bmatrix} = \begin{bmatrix} 1 & 0 \\ 0 & -1 \end{bmatrix} \quad |\alpha\rangle \text{に関する折り返し}$$

$$2|\psi\rangle\langle\psi|-1 = 2 \begin{bmatrix} \cos(\theta/2) \\ \sin(\theta/2) \end{bmatrix} \begin{bmatrix} \cos(\theta/2) & \sin(\theta/2) \\ \sin(\theta/2) & -\cos(\theta/2) \end{bmatrix} \begin{bmatrix} 1 & 0 \\ 0 & 1 \end{bmatrix} = \begin{bmatrix} \cos\theta & \sin\theta \\ \sin\theta & -\cos\theta \end{bmatrix} \quad |\psi\rangle \text{に関する折り返し}$$

$$G = (2|\psi\rangle\langle\psi|-1)O = \begin{bmatrix} \cos\theta & -\sin\theta \\ \sin\theta & \cos\theta \end{bmatrix} \theta \text{回転}$$

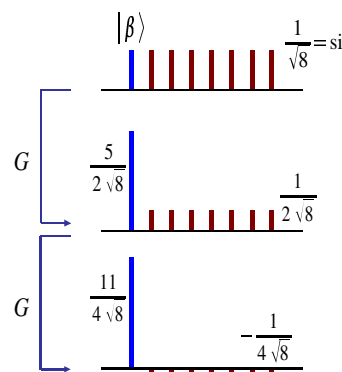
実2次元平面

## 実行例, N=4

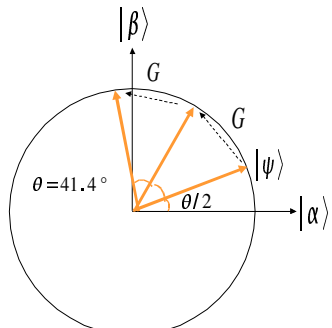


## 実行例, N=8

各fileの確率振幅の変化



$|\alpha\rangle|\beta\rangle$  平面での  $|\psi\rangle$  の変化



2回のG でほぼ所望のfileに到達. これ以上やると遠ざかる

## Groverのアルゴリズムの効率

所望のfileに到達するまで、何回のG ゲートが必要か?

始状態が  $|\psi\rangle = \begin{bmatrix} \cos(\theta/2) \\ \sin(\theta/2) \end{bmatrix}$  で、1回 G を実行するごとに  $\theta$  回転するので、

k 回実行した後の状態は

$$G^k |\psi\rangle = \begin{bmatrix} \cos \frac{2k+1}{2}\theta \\ \sin \frac{2k+1}{2}\theta \end{bmatrix}$$

アルゴリズムを終了するのは  $\frac{2n+1}{2}\theta \approx \frac{\pi}{2}$  となるとき

$$\sin \frac{\theta}{2} = \frac{1}{\sqrt{N}} \approx \frac{\theta}{2}$$

$$n \approx \frac{\pi}{4} \sqrt{N}$$

## Oracle

所望のfileの中身を“知らない”のに、oracleを構成できるのか

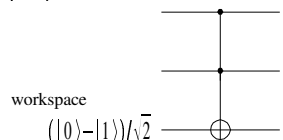
?

例えば、「37で割り切れる番号のfileが欲しい」ときには、「file番号を37で割る回路」をつくり、「割り切れたときのみ符号反転」させればよい。つまり、oracleは「検索条件」だけで構成できる

↓

応用範囲が広い!! (e.g. quantum simulation, quantum counting)

例 「file番号3のfileが欲しい」ときのoracle  
(N=4)



$$Z \quad CZ = \begin{bmatrix} 1 & 0 & 0 & 0 \\ 0 & 1 & 0 & 0 \\ 0 & 0 & 1 & 0 \\ 0 & 0 & 0 & -1 \end{bmatrix}$$

## Grover and Shor

Grover uses interference in phase to cancel unwanted terms.

Shor goes a step further, broadening the range of conditions in which useful interference occurs, by doing a Fourier transform...

## Shorの素因数分解アルゴリズム

$$66554087 = ? \ 6703 \times 9929$$

古典的な方法では、指数オーダーの時間をする素因数分解アルゴリズムしか知らない

古典的には、 $O(2^L)$

量子Fourier変換を使って、 $O(L^3)$

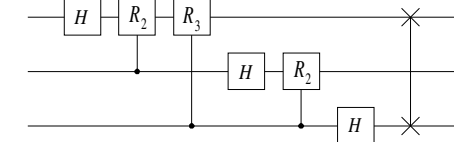
一番有名な量子計算のアルゴリズム

## 量子Fourier変換

$$\text{FFTの量子計算版} \quad |j\rangle \xrightarrow{\text{QFT}_N} \frac{1}{\sqrt{N}} \sum_{k=0}^{N-1} \exp(2\pi i j k / N) |k\rangle$$

例  $\text{QFT}_8$ を実行する量子回路

$$R_k = \begin{bmatrix} 1 & 0 \\ 0 & \exp(2\pi i / 2^k) \end{bmatrix}$$



$\text{QFT}_8$ の行列表示

$$QFT_8 = \frac{1}{\sqrt{8}} \begin{bmatrix} 1 & 1 & 1 & 1 & 1 & 1 & 1 & 1 \\ 1 & \omega^1 & \omega^2 & \omega^3 & \omega^4 & \omega^5 & \omega^6 & \omega^7 \\ 1 & \omega^2 & \omega^4 & \omega^6 & 1 & \omega^2 & \omega^4 & \omega^6 \\ 1 & \omega^3 & \omega^6 & \omega^1 & \omega^4 & \omega^7 & \omega^2 & \omega^5 \\ 1 & \omega^4 & 1 & \omega^4 & 1 & \omega^4 & 1 & \omega^4 \\ 1 & \omega^5 & \omega^2 & \omega^7 & \omega^4 & \omega^1 & \omega^6 & \omega^3 \\ 1 & \omega^6 & \omega^4 & \omega^2 & 1 & \omega^6 & \omega^4 & \omega^2 \\ 1 & \omega^7 & \omega^6 & \omega^5 & \omega^4 & \omega^3 & \omega^2 & \omega^1 \end{bmatrix} \quad \omega = \exp(2\pi i / 8) = \sqrt{i}$$

$$\omega^i + \omega^{i+4} = 0$$

## QFTの実行例，N=8

		$\sum_{j=0}^7 \alpha_j  j\rangle \xrightarrow{\text{QFT}_8} \sum_{k=0}^7 \beta_k  k\rangle$							
$r$	input string { $j$ }	output string { $k$ }							$N/r$
8	1 0 0 0 0 0 0 0	1 1 1 1 1 1 1 1	1						
4	1 0 0 0 1 0 0 0	1 0 1 0 1 0 1 0	2						
2	1 0 1 0 1 0 1 0	1 0 0 0 1 0 0 0	4						
1	1 1 1 1 1 1 1 1	1 0 0 0 0 0 0 0	8						

$$\frac{1}{\sqrt{2}}(|0\rangle + |4\rangle) \xrightarrow{\text{QFT}_8} \frac{1}{2}(|0\rangle + |2\rangle + |4\rangle + |6\rangle)$$

input string { $j$ }		output string { $k$ }						
1	0 0 0 1 0 0 0	1	0 1 0 1 0 1 0					
0	1 0 0 0 1 0 0	1	0 $i$ 0 $-1$ 0 $-i$ 0					
0	0 1 0 0 0 1 0	1	0 $-1$ 0 1 0 $-1$ 0					
0	0 0 1 0 0 0 1	1	0 $-i$ 0 $-1$ 0 $i$ 0					

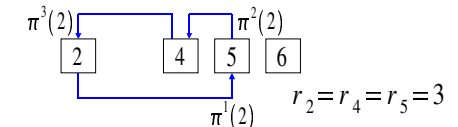
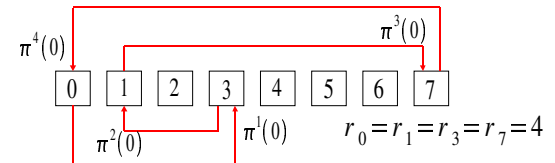
$$\frac{1}{\sqrt{2}}(|3\rangle + |7\rangle) \xrightarrow{\text{QFT}_8} \frac{1}{2}(|0\rangle - i|2\rangle - |4\rangle + i|6\rangle)$$

## 置換の位数(order)

$y$  から置換 $\pi$ を繰り返して、元の $y$ に戻る最小の回数を置換 $\pi(y)$ の位数  $r_y$  と呼ぶ

置換 $\pi(y)$ の例

$y$	(y)
0	3
1	7
2	5
3	1
4	2
5	4
6	6
7	0

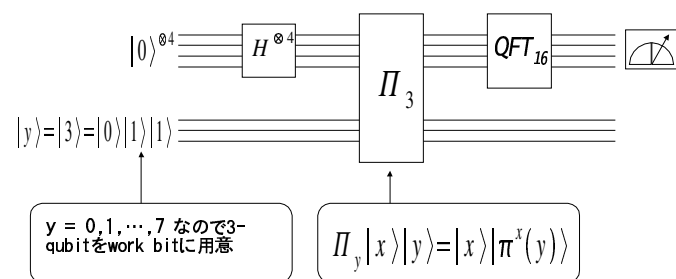
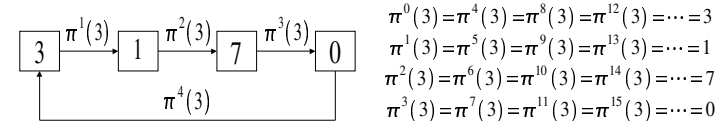


一般に、置換の位数の決定  
(order-finding)には、指数オーダー  
の時間をする

$$\pi^1(6) \quad r_6 = 1$$

## Order-finding

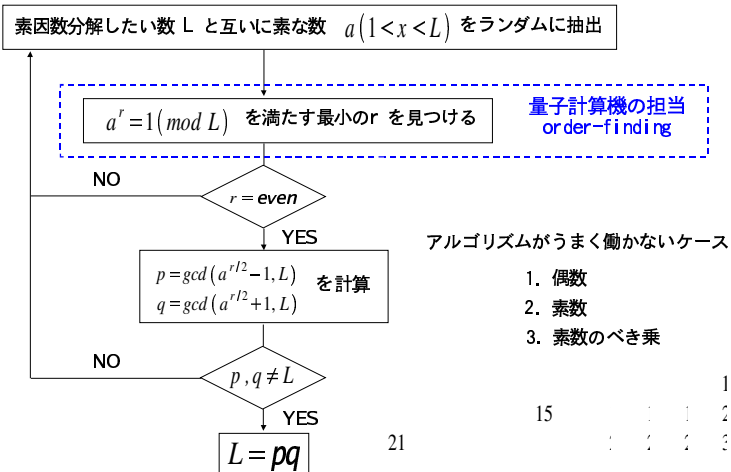
例として、 $y = 3$ の場合を考える



## Order-findingの実行過程

$$\begin{aligned}
 & |0\rangle^{\otimes 4}|3\rangle \xrightarrow{H^{\otimes 4}} \frac{1}{4} \sum_{x=0}^{15} |x\rangle|3\rangle \quad QFT_{16} = \frac{1}{\sqrt{16}} \begin{bmatrix} 1 & 1 & 1 & \cdots & 1 \\ 1 & \omega^1 & \omega^2 & \cdots & \omega^{15} \\ 1 & \omega^2 & \omega^4 & \cdots & \omega^{14} \\ \vdots & \vdots & \vdots & \ddots & \vdots \\ 1 & \omega^{15} & \omega^{14} & \cdots & \omega^1 \end{bmatrix} \quad \omega = \exp(2\pi i/16) \\
 & \xrightarrow{\Pi_3} \frac{1}{4} \sum_{x=0}^{15} |x\rangle|\pi^x(3)\rangle \quad \xrightarrow{QFT_{16}} \frac{1}{4}(|0\rangle+|4\rangle+|8\rangle+|12\rangle)|3\rangle + \\
 & \quad + \frac{1}{4}(|1\rangle+|5\rangle+|9\rangle+|13\rangle)|1\rangle \quad \frac{1}{4}(|0\rangle+i|4\rangle-i|8\rangle-i|12\rangle)|1\rangle + \\
 & \quad + \frac{1}{4}(|2\rangle+|6\rangle+|10\rangle+|14\rangle)|7\rangle \quad \frac{1}{4}(|0\rangle-i|4\rangle+|8\rangle-|12\rangle)|7\rangle + \\
 & \quad + \frac{1}{4}(|3\rangle+|7\rangle+|11\rangle+|15\rangle)|0\rangle \quad \frac{1}{4}(|0\rangle-i|4\rangle-|8\rangle+i|12\rangle)|0\rangle \\
 & \xrightarrow{\text{古典コンピュータを用いた連分数展開により } r \text{ を決定}} \text{ 連分数展開} \rightarrow \text{ イラスト}
 \end{aligned}$$

## Shorのアルゴリズムの流れ



## 乗法群の位数

$a^r \equiv 1 \pmod{L}$  を満たす最小の  $r$  を「乗法群の位数」と呼ぶ  
➡ 「置換の位数」との関係は?

$(y) \equiv ay \pmod{L}$  とすると、 $\pi(y)$  は「置換」になっている

$L = 15$ 以下の  $L$  と互いに素な数  $a = \{2, 4, 7, 8, 11, 13, 14\}$

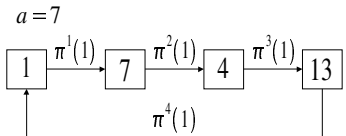
$y$	0	1	2	3	4	5	6	7	8	9	10	11	12	13	14
$(y)$	0	7	14	6	13	5	12	4	11	3	10	2	9	1	8

$y$	0	1	2	3	4	5	6	7	8	9	10	11	12	13	14
$(y)$	0	11	7	3	14	10	6	2	13	9	5	1	12	8	4

$a^x \pmod{L} \Leftrightarrow \pi^x(1)$ だから、「乗法群の位数」は「置換  $\pi(y)$  の位数」と同じ

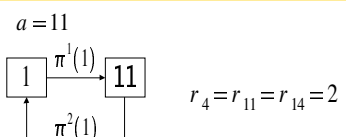
## 素因数分解, L=15の例

$L = 15$ 以下のLと互いに素な数  $a = \{2, 4, 7, 8, 11, 13, 14\}$

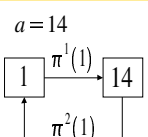


$$r_2 = r_7 = r_8 = r_{13} = 4$$

$$\begin{aligned} a^{r/2}-1 &= 48 \rightarrow \gcd(48, 15) = 3 \\ a^{r/2}+1 &= 50 \rightarrow \gcd(50, 15) = 5 \end{aligned}$$



$$\begin{aligned} a^{r/2}-1 &= 10 \rightarrow \gcd(10, 15) = 5 \\ a^{r/2}+1 &= 12 \rightarrow \gcd(12, 15) = 3 \end{aligned}$$



$$\begin{aligned} a^{r/2}-1 &= 13 \rightarrow \cancel{\gcd(13, 15) = 1}} \\ a^{r/2}+1 &= 15 \rightarrow \cancel{\gcd(15, 15) = 15}} \end{aligned}$$

失敗!!

## Euclidの互除法

最大公約数を求めるアルゴリズム

例  $\gcd(494, 133)$

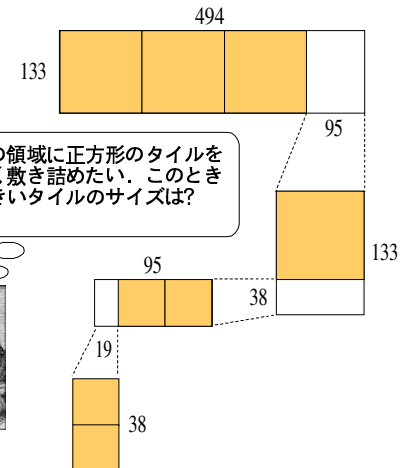
$$494 = 133 \times 3 + 95$$

$$133 = 95 \times 1 + 38$$

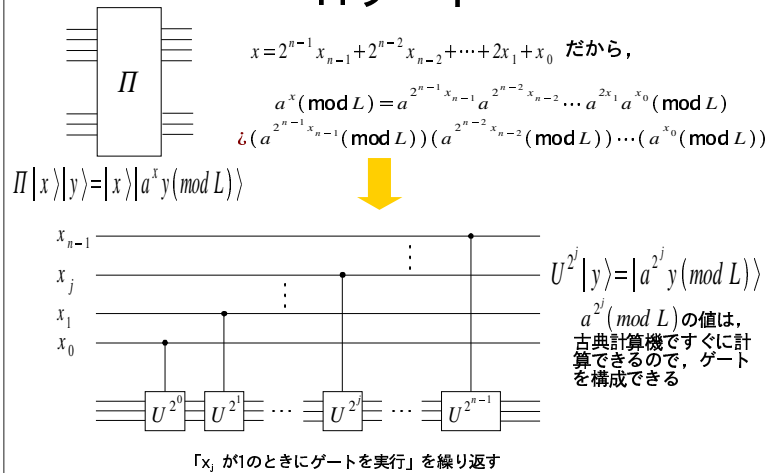
$$95 = 38 \times 2 + 19$$

$$38 = 19 \times 2$$

長方形の領域に正方形のタイルを隙間無く敷き詰めたい。このとき最も大きいタイルのサイズは?



## □ゲート



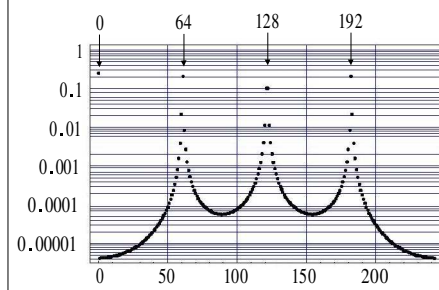
## 15の素因数分解

Step.1 ランダムに  $a$  を選ぶ

$$a = 7$$

Step.2 Order-finding

QFTの結果の例 ( $N = 2^n = 256$ )



Step.3 観測し、連分数展開で  $r$  を決定

$$r = 4$$

Step.4  $p = \gcd(a^{r/2}-1, L)$  を計算

$$q = \gcd(a^{r/2}+1, L)$$

$$a^{r/2}-1 = 48 \rightarrow \gcd(48, 15) = 3$$

$$a^{r/2}+1 = 50 \rightarrow \gcd(50, 15) = 5$$



$$15 = 3 \times 5$$

アルゴリズム終了

© Colin P. Williams (1997)

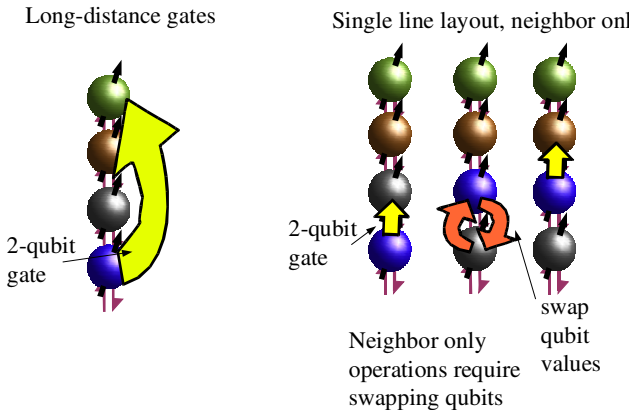
## Other Order-Finding Algos.

- Abelian subgroup, discrete logarithm
- QFT based, but very different in classical portion of algorithm
- Hidden subgroup problems in general

## Main Classes of Algorithms

- 1: Use the QFT to find periodicity
- 2: Grover's algorithm and friends
- 3: Simulating quantum physics
- (D-J seems to fall outside these)

## Architecture Affects Algorithm Efficiency



## Wrap-Up on Algorithms

- “Quantum” algorithms actually have both quantum and classical parts
- Use of quantum interference based on complex, analog phase is critical
- Period-finding algorithms work well (exponential speedup over best known algos, but not yet proven better)